

## ДЕТЕРМИНИРОВАННЫЙ МЕТОД РЕГУЛЯРИЗАЦИИ В ЗАДАЧЕ ВЫДЕЛЕНИЯ ЛИНИИ ФОНА ПРИ ОБРАБОТКЕ ЭКСПЕРИМЕНТАЛЬНЫХ ДАННЫХ

Задача выделения линии фона часто возникает при первичной обработке данных физического эксперимента, когда из полученных значений требуется выделить фоновую составляющую. В первую очередь, это связано с обработкой дифракционных спектров в нейтронографии, оже-спектроскопии, газовой электронографии, с обработкой порошковых дебаеграмм.

Факторы, порождающие линию фона, носят, как правило, случайный характер и, главное, не всегда известно какие именно физические факторы участвуют в формировании линии фона. Поэтому, основным вопросом выделения линии фона является выбор функций, которыми ее моделируют. Как правило, основными свойствами таких функций является их плавность, или, с математической точки - гладкость и ограниченность функции кривизны. Функция кривизны задается выражением:

$$k(u(x)) = \frac{|u''(x)|}{\left(1+(u'(x))^2\right)^{3/2}}.$$

Из физических соображений линия фона, обозначим ее как  $B$  (background), ищется такой, чтобы минимизировалась выбранная норма для функции кривизны. Отметим очевидное соотношение  $\|k(u)\| \leq \|u''\|$  (для любой нормы). Таким образом, если мы будем минимизировать норму  $\|u''\|$  на некотором специально заданном множестве функций, то добьемся и уменьшения нормы  $\|k(u)\|$ .

Формализуем нашу задачу. Рассмотрим пространство функций интегрируемых с квадратом на  $[a, b]$  с метрикой

$$\rho_{U_2}(u, v) = \left\{ \int_a^b (u(x) - v(x))^2 dx \right\}^{1/2} \quad (\text{далее просто } \rho(u, v)). \quad \text{Это метрическое}$$

пространство  $U_2[a, b]$ . Для  $u, v \in U_2[a, b] : (u, v) = \int_a^b uv dx$ ,  $\|u\|_{U_2}^2 = (u, u)$

(далее, под  $\| \cdot \|$  будем понимать  $\| \cdot \|_{C_2}$ ). На множестве  $D = \{u \in C^4[a, b]; u(a) = u'(a) = u(b) = u'(b) = 0\}$  рассмотрим линейные операторы дифференцирования  $L_1 u = \frac{du}{dx}, L_2 u = \frac{d^2 u}{dx^2}$ .

Пусть нам известно  $\delta > 0$  такое, что для данной экспериментальной функции  $u_\delta(x) \in C[a, b]$  выполняется  $\rho(u_\delta, B) \leq \delta$ . Пусть также известно число  $R > 0$  такое, что выполняется  $\|L_2 B\| \leq R$ . Как показала практика, значения  $\delta, R$  не сложно найти по экспериментальным данным. Введем множество  $D_{\delta, R} = \{u \in C^4[a, b]; \rho(u_\delta, u) \leq \delta, \|L_2 u\| \leq R\}$ . Не ограничивая общности, можно считать  $D_{\delta, R} \subseteq D$  (что можно добиться линейной заменой переменных).

Поставим задачу выделения линии фона как поиск элемента множества  $D_{\delta, R}$  с минимальным значением квадрата нормы второй производной, т.е.

$$\|L_2 u\|^2 \rightarrow \min, \quad u \in D_{\delta, R}. \quad (1)$$

Решение задачи существует, единственно ([1], с. 133–139) и сводится к поиску регуляризованного решения по А.Н.Тихонову. При этом, априорная информация о значениях  $\delta, R$  позволяет обойтись без решения задачи определения параметра регуляризации  $\alpha$ . Согласно детерминированному методу регуляризации [2, с.136] решение (1) ищется как минимум квадратичного функционала на множестве  $D_{\delta, R}$ :

$$\min \Psi[u] = \|u - u_\delta\|^2 + \frac{\delta^2}{R^2} \|L_2 u\|^2, \quad u \in D_{\delta, R}. \quad (2)$$

Пусть  $u_\alpha$  ( $\alpha = \delta^2 / R^2$ ) решение (2), тогда оно с необходимостью удовлетворяет тождеству Эйлера:

$$(u_\alpha - u_\delta, v) + \alpha (L_2 u_\alpha, L_2 v) \equiv 0, \quad \forall v \in D_{\delta, R}.$$

Учитывая для множества  $D$  самосопряженность оператора  $L_2 = L_2^*$ , получаем уравнение Эйлера:

$$\alpha u_\alpha^{(4)} + u_\alpha = u_\delta, \quad u_\alpha(a) = u'_\alpha(a) = u_\alpha(b) = u'_\alpha(b) = 0. \quad (3)$$

Решение (3) существует и единственно для любой непрерывной функции  $u_\delta$  ([3], с.117).

Будем рассматривать варианты А)- Г) решения задач (2),(3):

А) проводится дискретизация (2) на неравномерной сетке,

Б) проводится дискретизация (2) на равномерной сетке,

В) проводится дискретизация (3) на равномерной сетке,

Г) решение (3) находится для любой точки  $[a, b]$ .



$$D = \begin{pmatrix} 1 & -2 & 1 & 0 & 0 & \dots & 0 \\ -2 & 5 & -4 & 1 & 0 & \dots & 0 \\ 1 & -4 & 6 & -4 & 1 & \dots & \\ \dots & \dots & \dots & \dots & \dots & \dots & \dots \\ \dots & \dots & \dots & 1 & -4 & 5 & -2 \\ \dots & \dots & \dots & 0 & 1 & -2 & 1 \end{pmatrix}.$$

Для данной матрицы  $A$  найден эффективный метод обращения (методом прогонки), который требует порядка  $9n$  операций умножения и  $n$  операций деления.

**Вариант В.** Проводится дискретизация уравнения Эйлера (3) на равномерной сетке. Оператор дифференцирования четвертого порядка заменим соответствующим оператором конечной разности четвертого порядка:  $u_i^{(4)} \approx \frac{1}{h^2}(u_{i-2} - 4u_{i-1} + 6u_i - 4u_{i+1} + u_{i+2})$ ,  $i=0, \dots, n-1$ . С учетом нулевых граничных условий, мы можем рассматривать нашу функцию как периодическую (с периодом  $T=b-a$ ) и принять  $u_{-1} = u_{n-1}$ ,  $u_{-2} = u_{n-2}$ ,  $u_{n+1} = u_1$ ,  $u_{n+2} = u_2$ . Тогда

$$u_0^{(4)} \approx \frac{1}{h^4}(u_{n-2} - 4u_{n-1} + 6u_0 - 4u_1 + u_2),$$

$$u_1^{(4)} \approx \frac{1}{h^4}(u_{n-1} - 4u_0 + 6u_1 - 4u_2 + u_3),$$

$$u_{n-2}^{(4)} \approx \frac{1}{h^4}(u_{n-4} - 4u_{n-3} + 6u_{n-2} - 4u_{n-1} + u_0),$$

$$u_{n-1}^{(4)} \approx \frac{1}{h^4}(u_{n-3} - 4u_{n-2} + 6u_{n-1} - 4u_0 + u_1).$$

Отсюда получаем СЛАУ:  $(E + pC)u = u_\delta$ ,  $p = \alpha/h^4$ , где  $(E + pC)$  симметричная циркулянтная матрица:

$$E + pC = \begin{pmatrix} 1+6p & -4p & p & 0 & 0 & \dots & 0 & p & -4p \\ -4p & 1+6p & -4p & p & 0 & \dots & \dots & 0 & p \\ p & -4p & 1+6p & -4p & p & \dots & \dots & \dots & 0 \\ \dots & \dots & \dots & \dots & \dots & \dots & \dots & \dots & \dots \\ 0 & \dots & \dots & 0 & p & -4p & 1+6p & -4p & p \\ p & 0 & \dots & \dots & 0 & p & -4p & 1+6p & -4p \\ -4p & p & \dots & \dots & \dots & 0 & p & -4p & 1+6p \end{pmatrix}.$$

Следовательно, при решении СЛАУ можно избежать трудоемкой операции обращения матрицы и найти решение (при условии невырожденности матрицы) в явном виде, т.к. известны вещественные собственные значения  $y_k = 1 + p(6 - 4r_k + r_k^2 + r_k^{n-2} - 4r_k^{n-1})$  и собственные

вектора  $x_k = (1, r_k, r_k^2, \dots, r_k^{n-1})^T$ , где  $r_k = \cos \frac{2\pi k}{n} + i \sin \frac{2\pi k}{n}$  ( $k$ -й корень из 1).

Для нахождения  $y_k$  вычислим  $6 - 4(r_k + r_k^{n-1}) + r_k^2 + r_k^{n-2} =$

$$= 6 - 8 \cos \alpha_k + 2 \cos 2\alpha_k = 16 \sin^4 \frac{\alpha_k}{2}, \quad \alpha_k = \frac{2\pi k}{n}. \quad \text{Таким образом,}$$

$y_k = 1 + 16p \sin^4 \frac{\pi k}{n} > 0$  (отсюда матрица  $E + pC$  является положительно-

определенной) и решение дается как  $u = \frac{1}{n} F^* \Lambda^{-1} F u_\delta$ , где

$\Lambda^{-1} = \text{diag}\{y_0^{-1}, y_0^{-2}, \dots, y_{n-1}^{-1}\}$ ,  $F$  – матрица дискретного преобразования

Фурье, у которой столбцами являются собственные вектора  $x_k$ .

Можно также рассматривать следующий оператор конечной разности четвертого порядка ([6], с.234):

$$u_i^{(2)} \approx \frac{1}{h^2} (\alpha_2 u_{i-2} + \alpha_1 u_{i-1} + \alpha_0 u_i + \alpha_1 u_{i+1} + \alpha_2 u_{i+2}),$$

$$u_i^{(4)} \approx \frac{1}{h^2} (\alpha_2 u_{i-2}^{(2)} + \alpha_1 u_{i-1}^{(2)} + \alpha_0 u_i^{(2)} + \alpha_1 u_{i+1}^{(2)} + \alpha_2 u_{i+2}^{(2)}) =$$

$$\frac{1}{h^4} (\beta_4 u_{i-4} + \beta_3 u_{i-3} + \beta_2 u_{i-2} + \beta_1 u_{i-1} + \beta_0 u_i + \beta_1 u_{i+1} + \beta_2 u_{i+2} + \beta_3 u_{i+3} + \beta_4 u_{i+4}), \text{ где}$$

$\alpha_0 = -60, \alpha_1 = 32, \alpha_2 = -2$ . Значения  $\beta_k$  выражаются через  $\alpha_k$  как

$$\beta_0 = 2(\alpha_0^2 + \alpha_1^2 + \alpha_2^2), \beta_1 = 2(\alpha_0 \alpha_1 + \alpha_2 \alpha_1), \beta_2 = \alpha_1^2 + 2\alpha_2 \alpha_0, \beta_3 = 2\alpha_2 \alpha_1, \beta_4 = \alpha_2^2.$$

Принималось  $u_0 = u_n, u_{-1} = u_{n-1}, u_{-2} = u_{n-2}, u_{-3} = u_{n-3}, u_{-4} = u_{n-4}$ ,

$u_{n+1} = u_1, u_{n+2} = u_2, u_{n+3} = u_3, u_{n+4} = u_4$ . Собственные значения

$y_k = 1 + p(\beta_0 + \beta_1 r_k + \beta_2 r_k^2 + \beta_3 r_k^3 + \beta_4 r_k^4 + \beta_4 r_k^{n-4} + \beta_3 r_k^{n-3} + \beta_2 r_k^{n-2} + \beta_1 r_k^{n-1})$ , или

$y_k = 1 + p(\beta_0 + 2(\beta_1 \cos \alpha_k + \beta_2 \cos 2\alpha_k + \beta_3 \cos 3\alpha_k + \beta_4 \cos 4\alpha_k))$ . Решение

также дается как  $u = \frac{1}{n} F^* \Lambda^{-1} F u_\delta$ . Меняется только

$\Lambda^{-1} = \text{diag}\{y_0^{-1}, y_0^{-2}, \dots, y_{n-1}^{-1}\}$ . Собственные вектора  $x_k = (1, r_k, r_k^2, \dots, r_k^{n-1})^T$ ,

как известно, являются общими для всех циркулянтов ([7], с.44).

**Вариант Г.** Выразим решение (3) в явном виде. Предварительно, приведем уравнение к виду:

$$u^{(4)} + 4\lambda^4 u = 4\lambda^4 u_\delta, \quad u(a) = u'(a) = u(b) = u'(b) = 0,$$

где  $\lambda = (R/(2\delta))^{1/2}$ . Решением данного уравнения является функция:

$$u(x) = \sum_{k=1}^4 c_k u_k(x) + 4\lambda^4 \int_a^x u_4(x-t) u_\delta(t) dt,$$

где  $u_1(x) = \cosh \lambda x \cdot \cos \lambda x$ ,  $u_2(x) = \frac{1}{2}(\cosh \lambda x \cdot \sin \lambda x + \sinh \lambda x \cdot \cos \lambda x)$ ,

$u_3(x) = \frac{1}{2} \sinh \lambda x \cdot \sin \lambda x$ ,  $u_4(x) = \frac{1}{4}(\cosh \lambda x \cdot \sin \lambda x - \sinh \lambda x \cdot \cos \lambda x)$ .

Коэффициенты  $c_k$  определяются из граничных условий:

$$u_1(a)c_1 + u_2(a)c_2 + u_3(a)c_3 + u_4(a)c_4 = 0,$$

$$u_1(b)c_1 + u_2(b)c_2 + u_3(b)c_3 + u_4(b)c_4 = b_3,$$

$$-4u_4(a)c_1 + u_1(a)c_2 + u_2(a)c_3 + u_3(a)c_4 = 0,$$

$$-4u_4(b)c_1 + u_1(b)c_2 + u_2(b)c_3 + u_3(b)c_4 = b_4,$$

$$b_3 = -4\lambda^4 \int_a^b u_4(b-t) u_\delta(t) dt,$$

$$b_4 = -4\lambda^3 \left( \frac{d}{dx} \int_a^x u_4(x-t) u_\delta(t) dt \right) \Big|_{x=b}.$$

Доказательство дано в ([5]).

**Замечание 1.** Оценки параметров алгоритма -  $\delta$  и  $R$ , несложно вычисляются применением метода скользящего среднего: пусть  $S_m$ -оператор применения метода скользящего среднего по  $m$  точкам. Тогда, можно определить  $\delta = \|S_m(u_\delta) - u_\delta\|$ ,  $R = \|L_2 S_m(u_\delta)\|$ .

**Замечание 2.** Если искомая функция не удовлетворяет нулевым граничным условиям (3), т.е. выполняется  $u(a) = y_1$ ,  $u'(a) = d_1$ ,  $u(b) = y_2$ ,  $u'(b) = d_2$  так, что  $y_1^2 + y_2^2 + d_1^2 + d_2^2 \neq 0$ , то вводим новую функцию  $z(x) = u(x) - P_3(x)$ , где

$$P_3(x) = \frac{1}{b-a} [(b-x)y_1 + (x-a)y_2] + \frac{(x-a)(x-b)}{(b-a)^3} [(d_1(b-a) + y_1 - y_2)(x-b) + (d_2(b-a) + y_1 - y_2)(x-a)].$$

Тогда,

очевидно,  $z(a) = z'(a) = z(b) = z'(b) = 0$ , функция  $u_\delta(x)$  заменится на  $u_\delta(x) - P_3(x)$ , значение  $\delta$  останется прежним, но  $R$  изменится на

$$R_z = \left( R^2 - \left( P_3'' P_3' - P_3''' P_3 \right) \Big|_a^b \right)^{1/2}.$$

**Замечание 3.** Данный алгоритм может также применяться для фильтрации шумов экспериментальных данных; на рис.1 показано выделение полезного сигнала.

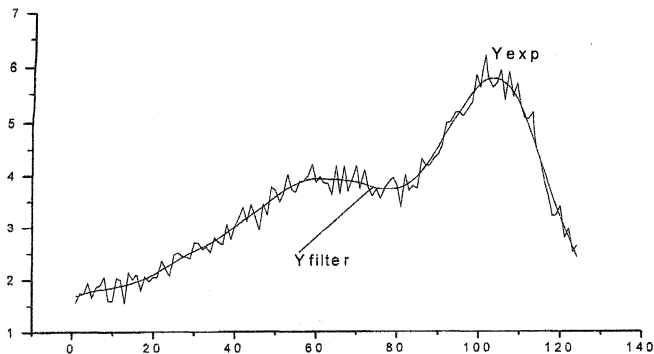


Рис.1. Фильтрация шумов экспериментальной функции.

**Замечание 4.** Определенную сложность для известных алгоритмов проведения линии фона вызывает требование проведения линии фона строго под спектром. Наш алгоритм успешно справляется с подобным требованием (см. рис.2)

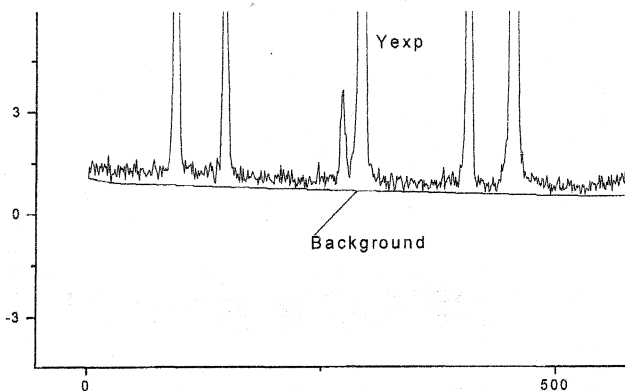


Рис.2. По условиям задачи линия фона проведена строго под спектром.

## Практическое использование

Данный алгоритм успешно применялся при обработке данных порошковых дифрактограмм, оже-спектроскопии, газовой электронографии, нейтронограмм (рис. 3-5).

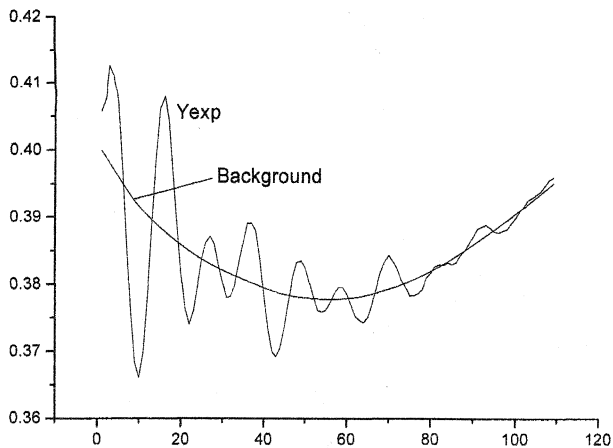


Рис.3. Выделение линии фона в газовой электронографии ( $Y_{exp}$  – интенсивность рассеяния электронов на газе молекулы  $CHCl_3$ ).

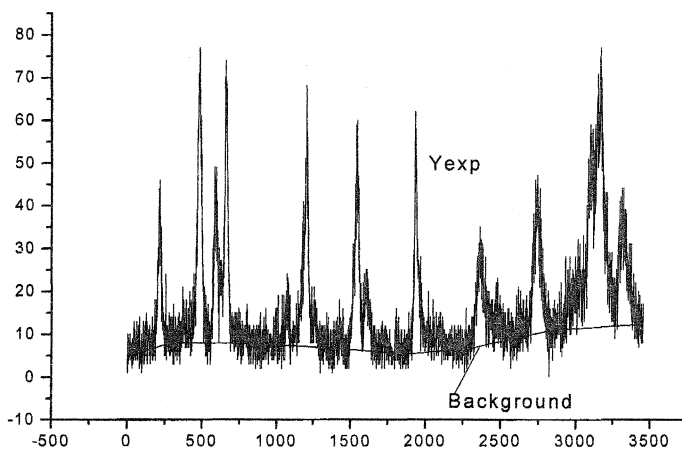


Рис.4. Выделение линии фона по данным порошковой рентгенограммы (количество точек -3500).



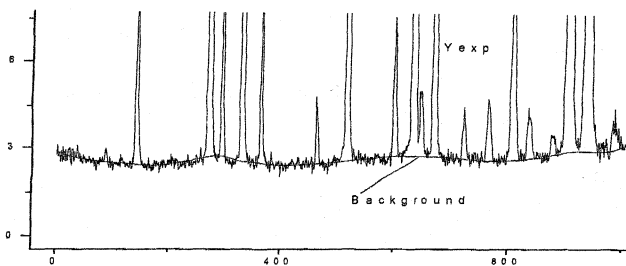


Рис.5. Выделение линии фона по данным нейтронограммы.

При числе точек в спектре  $N=4096$  время счета занимает менее долей секунды на РС средней мощности. Проведенные тесты показали, что ограничения на количество точек спектра определяется только ограниченностью памяти РС. В этом смысле интересно рассмотреть следующую постановку задачи проведения линии фона: с непрерывно работающего прибора поступает спектр; требуется в режиме реального времени выдавать числовые значения спектра без линии фона. В настоящее время такой алгоритм нами разработан, проводится его апробация.

**Заключение.** На основе метода регуляризации А.Н.Тихонова разработан эффективный алгоритм и серия соответствующих программ для выделения гладкой линии фона при обработке экспериментальных данных. Следует отметить, что алгоритм пригоден не только для выделения линии фона, но и для построения фильтрующей функции.

## Литература

1. Тихонов А.Н., Арсенин В.Я. Методы решения некорректных задач. - М., Наука, 1979, 285 с.
2. Морозов В.А. Регулярные методы решения некорректно поставленных задач. - М.: Изд-во МГУ, 1974, 359 с.
3. Тихонов А.Н., Васильева А.Б., Свешников А.Г. Дифференциальные уравнения. - М.: Наука, 1980, 231 с.
4. Самарский А.А., Николаев Е.С. Методы решения сеточных уравнений. - М.: Наука, 1978, 591 с.
5. Деянов Р.З., Щедрин Б.М. Восстановление гладкой функции детерминированным методом регуляризации. - М.: Изд-во МГУ, В кн. Вычислительные методы и программирование, вып. 39, 1983, с.55-61.
6. Березин И.С., Жидков Н.П. Методы вычислений. т.1. - М.: Наука, 1966, 464с.
7. Воеводин В.В., Тыртышников Е.Е. Вычислительные процессы с теплицевыми матрицами. - М.: Наука, 1987, 320 с.